

УДК 539.217.5

МАТЕМАТИЧЕСКАЯ МОДЕЛЬ ДВИЖЕНИЯ СМЕСИ ГАЗОВ И ПОЛЫХ ИЗБИРАТЕЛЬНО ПРОНИЦАЕМЫХ МИКРОСФЕР

А. С. Верещагин, В. М. Фомин

Институт теоретической и прикладной механики им. С. А. Христиановича СО РАН,
630090 Новосибирск, Россия

Новосибирский государственный университет, 630090 Новосибирск, Россия

Новосибирский государственный технический университет, 630073 Новосибирск, Россия

E-mails: vereshchag@itam.nsc.ru, fomin@itam.nsc.ru

С использованием принципов осреднения механики многофазных сред получена математическая модель движения твердых избирательно проницаемых частиц и смеси движущихся газов. Для частного одномерного изотермического случая проведено исследование полученной системы дифференциальных квазилинейных уравнений в частных производных.

Ключевые слова: проницаемость, гелий, микросфера, математическая модель, механика многофазных сред.

DOI: 10.15372/PMTF20150501

Введение. В настоящее время в промышленном масштабе гелий извлекают из природного газа с помощью криогенной технологии, основанной на конденсации углеводородных фракций, являющихся компонентами природного газа. Поэтому выделение небольших объемов гелия из природного газа требует больших затрат [1]. Альтернативой криогенной технологии может стать принципиально новая мембранно-сорбционная технология извлечения гелия из природного газа газоконденсатных месторождений. Эта технология основана на экспериментально подтвержденной способности полых проницаемых сферических частиц (микросфер или ценосфер) избирательно поглощать гелий из гелиеносных газов [2], а затем выделять его и накапливать в виде концентрата с высоким содержанием гелия.

Для описания процесса сорбции гелия микросферами разработан ряд математических моделей и проведены экспериментальные и теоретические исследования [3–5], позволяющие находить требуемые константы проницаемости материалов. Представляет интерес построение модели, описывающей нестационарные эффекты, происходящие при одновременном движении смеси гелиеносного газа и микросфер в качестве сорбента гелия. В настоящей работе такая модель получена в рамках механики многофазных сред с использованием подхода [6, 7], согласно которому осреднение уравнений движения смеси газов и твердых частиц проводится по некоторому макрообъему.

1. Основные обозначения и порядок осреднения. Для вывода законов сохранения массы, импульса и энергии для смеси двух газов и избирательно проницаемых относительно одного из них частиц сделаны следующие основные предположения:

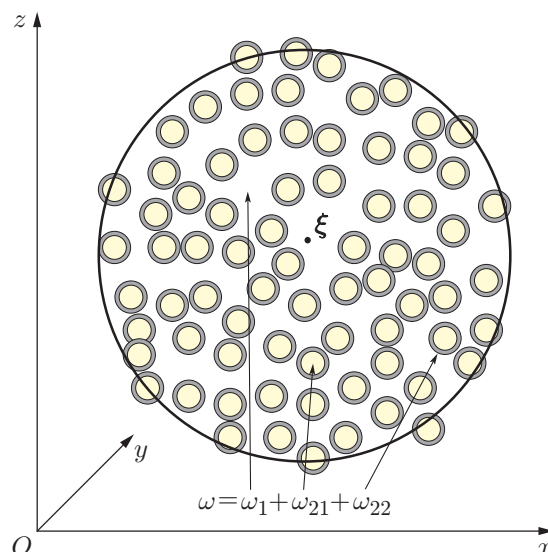
- размеры твердых частиц много больше длины свободного пробега в каждом из газов;
- размеры частиц много меньше характерной длины изменения макроскопических параметров;
- в окрестности каждой точки системы справедливы первый и второй законы термодинамики;
- объемная концентрация частиц много меньше единицы;
- гелий способен проникать внутрь микросфер, плотность потока гелия через оболочку пропорциональна разности парциальных давлений гелия внутри и снаружи частиц;
- гелий, попавший в частицу, начинает двигаться со скоростью этой частицы, а его температура становится равной температуре частицы;
- гелий, покинувший частицу, начинает двигаться со скоростью несущего газа, а его температура становится равной температуре несущего газа;
- скорости и температуры несущих газов гелия и метана равны;
- скорости и температуры оболочки микросфер и гелия внутри микросфер равны;
- гелий и метан полагаются идеальными газами;
- внутри микросфер все параметры однородны;
- геометрические и физические свойства всех микросфер одинаковые.

В рамках феноменологического подхода [6] проводится осреднение основных параметров среды по выделенному микрообъему. Для этого рассмотрим точку ξ пространства и содержащий ее объем ω :

$$\omega = \omega_1 + \omega_{21} + \omega_{22}, \quad (1)$$

где ω_1 — часть объема ω , не занятая микросферами; ω_{21} — часть объема ω , занимаемая полостями всех микросфер; ω_{22} — часть объема ω , занятая твердой оболочкой микросфер (см. рисунок).

На объем ω налагается следующее ограничение [6]: с одной стороны, в этом объеме содержится большое число микросфер, с другой — этот объем мал по сравнению с расстоянием, на котором происходит изменение параметров газа вокруг частиц. Первое допущение гарантирует репрезентативность выборки и позволяет проводить осреднения



Выделенный объем ω , построенный вокруг точки ξ

по параметрам частиц, второе необходимо для того, чтобы средние параметры газа по ω незначительно отличались от истинных.

Определим границы области межфазного взаимодействия s_i :

$$s_i = \partial\omega_i \setminus \partial\omega,$$

где $i \in \{1, 2, 21, 22\}$.

2. Осреднение и правила дифференцирования. Для оператора осреднения по пространству введем обозначения

$$\begin{aligned} \langle \varphi(t, \mathbf{x}) \rangle_{i(t, \boldsymbol{\xi})} &= \frac{1}{\omega_i(t, \boldsymbol{\xi})} \int_{\omega_i(t, \boldsymbol{\xi})} \varphi(t, \mathbf{x}) d\mathbf{x}, \\ \langle \varphi(t, \mathbf{x}) \rangle(t, \boldsymbol{\xi}) &= \frac{1}{\omega} \int_{\omega_i(t, \boldsymbol{\xi})} \varphi(t, \mathbf{x}) d\mathbf{x}, \\ \langle \varphi(t, \mathbf{x}) \rangle_{s_i(t, \boldsymbol{\xi})} &= \frac{1}{s_i(t, \boldsymbol{\xi})} \int_{s_i(t, \boldsymbol{\xi})} \varphi(t, \mathbf{x}) d\mathbf{x}, \end{aligned} \quad (2)$$

где φ — скалярная, векторная или тензорная величина, определенная в исследуемой области ω_i или s_i , $i \in \{1, 2, 21, 22\}$.

Введем основные правила для преобразования дифференцирования и осреднений.

Для производной по времени имеем

$$\frac{\partial}{\partial t} \int_{\omega_i(t, \boldsymbol{\xi})} \varphi(t, \mathbf{x}) d\mathbf{x} = \int_{\omega_i(t, \boldsymbol{\xi})} \frac{\partial \varphi(t, \mathbf{x})}{\partial t} + \int_{s_i(t, \boldsymbol{\xi})} \varphi(t, \mathbf{x})(\mathbf{v}_2 \cdot \mathbf{n}) dS, \quad (3)$$

где \mathbf{v}_2 — скорость перемещения границы, равная скорости микросферы; \mathbf{n} — внешняя единичная нормаль к поверхности $s_i(t, \boldsymbol{\xi})$.

Для производных по пространству имеем

$$\int_{\omega_i(t, \boldsymbol{\xi})} \text{grad}_{\mathbf{x}} \psi(t, \mathbf{x}) d\mathbf{x} = \text{grad}_{\boldsymbol{\xi}} \left(\int_{\omega_i(t, \boldsymbol{\xi})} \psi(t, \mathbf{x}) d\mathbf{x} \right) + \int_{s_i(t, \boldsymbol{\xi})} \psi(t, \mathbf{x}) \mathbf{n} dS; \quad (4)$$

$$\int_{\omega_i(t, \boldsymbol{\xi})} \text{div}_{\mathbf{x}} \mathbf{a}(t, \mathbf{x}) d\mathbf{x} = \text{div}_{\boldsymbol{\xi}} \left(\int_{\omega_i(t, \boldsymbol{\xi})} \mathbf{a}(t, \mathbf{x}) d\mathbf{x} \right) + \int_{s_i(t, \boldsymbol{\xi})} \mathbf{a}(t, \mathbf{x}) \cdot \mathbf{n} dS; \quad (5)$$

$$\int_{\omega_i(t, \boldsymbol{\xi})} \text{div}_{\mathbf{x}} \Pi(t, \mathbf{x}) d\mathbf{x} = \text{div}_{\boldsymbol{\xi}} \left(\int_{\omega_i(t, \boldsymbol{\xi})} \Pi(t, \mathbf{x}) d\mathbf{x} \right) + \int_{s_i(t, \boldsymbol{\xi})} \mathbf{n} \cdot \Pi(t, \mathbf{x}) dS, \quad (6)$$

где $i \in \{1, 21, 22\}$; ψ , \mathbf{a} , Π — скалярное, векторное и тензорное поля, определенные в $\omega_i(t, \boldsymbol{\xi})$.

В соответствии с (1) в некоторый момент времени t выберем точку пространства $\boldsymbol{\xi}_0$ и введем область $\omega_i(\boldsymbol{\xi}_0)$. Величины $\varphi(\mathbf{x})$, $\psi(\mathbf{x})$, определенные в ω_i , представим в виде

$$\varphi(\mathbf{x}) = \langle \varphi \rangle_i(\boldsymbol{\xi}_0) + \varphi'(\mathbf{x}); \quad (7)$$

$$\psi(\mathbf{x}) = \langle \psi \rangle_i(\boldsymbol{\xi}_0) + \psi'(\mathbf{x}). \quad (8)$$

В результате осреднения (7), (8) в точке $\boldsymbol{\xi}_0$ получаем

$$\langle \varphi' \rangle_i(\boldsymbol{\xi}_0) = 0, \quad \langle \psi' \rangle_i(\boldsymbol{\xi}_0) = 0. \quad (9)$$

Используя выражения (7)–(9) для произведения $\varphi\psi$ в точке ξ_0 , получаем осреднение

$$\langle\varphi\psi\rangle_i = \langle\varphi\rangle_i\langle\psi\rangle_i + \langle\varphi'\psi'\rangle_i. \quad (10)$$

Согласно [6] последнее слагаемое в формуле (10) равно нулю вследствие справедливости гипотезы эргодичности. В дальнейшем, в случае если величины φ , ψ , например пульсации скорости $\varphi = \psi = \mathbf{v}_1$, являются зависимыми, $\langle\varphi'\psi'\rangle_i$ пренебрегается как малой величиной. Поэтому будем полагать, что с большой точностью выполняется условие

$$\langle\varphi\psi\rangle_i = \langle\varphi\rangle_i\langle\psi\rangle_i.$$

3. Геометрия системы. Объект исследования — микросфера — представляет собой полую микросферическую частицу с внешним радиусом R , радиусом полости r , толщиной оболочки $d = R - r$.

Справедливы соотношения

$$V^+ = 4\pi R^3/3; \quad (11)$$

$$V^- = 4\pi r^3/3; \quad (12)$$

$$V^s = 4\pi(R^3 - r^3)/3 = 4\pi R^3(1 - \beta^3)/3; \quad (13)$$

$$S^+ = 4\pi R^2, \quad S^- = 4\pi r^2,$$

где V^+ — объем микросферы; V^- — объем полости микросферы; V^s — объем оболочки микросферы; $\beta = r/R$.

Разделив обе части выражения (1) на ω , получаем

$$m_1 + m_{21} + m_{22} = 1, \quad (14)$$

где

$$m_1 = \omega_1/\omega, \quad m_{21} = \omega_{21}/\omega, \quad m_{22} = \omega_{22}/\omega, \quad (15)$$

m_1 — доля свободного объема в ω ; m_{21} — доля объема, занятого полостями микросфер; m_{22} — доля объема, занятого твердой оболочкой микросфер.

Введем дополнительно $\omega_2 = \omega_{21} + \omega_{22}$ — объем, занимаемый всеми микросферами в ω . Тогда из (15) находим $m_2 = m_{21} + m_{22}$, из (14) — $m_1 + m_2 = 1$ ($m_2 = \omega_2/\omega$ — доля объема ω , занимаемая микросферами).

Пусть в объеме ω содержится k микросфер, тогда

$$m_{21} = kV^-/\omega; \quad (16)$$

$$m_{22} = kV^s/\omega; \quad (17)$$

$$m_2 = kV^+/\omega; \quad (18)$$

$$s_1 = kS^+. \quad (19)$$

Используя (11)–(13), разделим выражения (16), (17) на (18):

$$m_{21} = \beta^3 m_2, \quad m_{22} = (1 - \beta^3) m_2.$$

Разделив выражение (19) на (18), получаем

$$\frac{s_1}{\omega} = \frac{3}{R} m_2. \quad (20)$$

Разделив на ω обе части формулы (4), где $\psi(t, \mathbf{x}) = 1$, $i = 1$, находим

$$\frac{1}{\omega} \int_{s_1(t, \xi)} \mathbf{n} dS = -\nabla_{\xi} m_1(t, \xi). \quad (21)$$

С использованием (2), (21), (20) получаем

$$\langle \mathbf{n} \rangle_{s_1} = -\frac{R}{3} \frac{\nabla m_1}{m_2} = \frac{R}{3} \frac{\nabla m_2}{m_2}. \quad (22)$$

4. Осредненные законы сохранения массы, импульса и энергии для газовой фазы. Рассмотрим движение смеси газов гелия и метана в объеме $\omega_1(t, \boldsymbol{\xi})$ в односкоростном однотемпературном приближении, которое подчиняется следующим законам сохранения, записанным в дивергентной форме:

$$\frac{\partial \rho_{11}}{\partial t} + \operatorname{div} \rho_{11} \mathbf{v}_1 = 0; \quad (23)$$

$$\frac{\partial \rho_{12}}{\partial t} + \operatorname{div} \rho_{12} \mathbf{v}_1 = 0; \quad (24)$$

$$\frac{\partial \rho_1 \mathbf{v}_1}{\partial t} + \operatorname{div} (\rho_1 \mathbf{v}_1 \otimes \mathbf{v}_1 - \boldsymbol{\sigma}) = 0,$$

$$\frac{\partial (\rho_{11} E_{11} + \rho_{12} E_{12})}{\partial t} + \operatorname{div} [(\rho_{11} E_{11} + \rho_{12} E_{12}) \mathbf{v}_1 - \boldsymbol{\sigma} \cdot \mathbf{v}_1 - \mathbf{q}] = 0.$$

Здесь

$$\boldsymbol{\sigma} = \boldsymbol{\sigma}^*, \quad E_{11} = \varepsilon_{11} + \mathbf{v}_1^2/2, \quad E_{12} = \varepsilon_{12} + \mathbf{v}_1^2/2, \quad \rho_1 = \rho_{11} + \rho_{12},$$

ρ_{11} — плотность гелия; ρ_{12} — плотность метана; \mathbf{v}_1 — линейная скорость газов; $\boldsymbol{\sigma}$ — совместный тензор напряжения для метангелиевой смеси; \mathbf{q} — вектор перетока тепла; E_1 — полная удельная энергия смеси; ε_1 — удельная внутренняя энергия смеси; ε_{11} — удельная внутренняя энергия гелия; ε_{12} — удельная внутренняя энергия метана.

На межфазной границе s_1 , движущейся со скоростью \mathbf{v}_2 , выполняются условия

$$\rho_{11}(\mathbf{v}_1 - \mathbf{v}_2) \cdot \mathbf{n} = C_m \beta (p_{11} - p_{21})/d; \quad (25)$$

$$\rho_{11}(\mathbf{v}_1 - \mathbf{v}_2) \cdot \boldsymbol{\tau} = 0; \quad (26)$$

$$\rho_{12}(\mathbf{v}_1 - \mathbf{v}_2) = \mathbf{0}; \quad (27)$$

$$\mathbf{n} \cdot \boldsymbol{\sigma} = \mathbf{f}_{12}(\rho_{11}, \rho_{12}, \mathbf{v}_1, \mathbf{v}_2, R, \mu_1, \mu_2, \dots); \quad (28)$$

$$\mathbf{q} \cdot \mathbf{n} = Q(T_1, T_2, \rho_{11}, \rho_{12}, \dots), \quad (29)$$

где \mathbf{n} — вектор единичной внешней нормали к s_1 ; C_m — коэффициент проницаемости стенки микросферы; d — толщина стенки микросферы; $\beta = r/R$ — отношение радиуса полости к радиусу частицы; \mathbf{f}_{12} — удельная (на единицу площади) сила взаимодействия газа и микросферы; Q — удельный (на единицу площади) поток тепла между смесью газов и микросферой; p_{11} — парциальное давление гелия в смеси газов на границе; p_{21} — парциальное давление гелия в микросфере, находящейся в рассматриваемой точке.

Уравнение (25) определяет плотность массового потока гелия через стенку микросферы, уравнение (26) является условием прилипания газа в направлении по касательной, уравнение (27) — условием прилипания газа к стенке микросферы. Уравнение (28) определяет значение силы, действующей со стороны газа на частицу, а уравнение (29) отвечает за обмен теплом. Неизвестные параметры \mathbf{f}_{12} , Q уточняются далее.

Изменение массы гелия в объеме ω_1 с помощью (3) определяется следующим образом:

$$\frac{\partial}{\partial t} \int_{\omega_1(t, \boldsymbol{\xi})} \rho_{11}(t, \mathbf{x}) d\mathbf{x} = \int_{\omega_1(t, \boldsymbol{\xi})} \frac{\partial \rho_{11}(t, \mathbf{x})}{\partial t} d\mathbf{x} + \int_{s_1(t, \boldsymbol{\xi})} \rho_{11}(\mathbf{v}_2 \cdot \mathbf{n}) d\mathbf{x}. \quad (30)$$

Используя (23), (5), первое слагаемое в (30) представим в виде

$$\int_{\omega_1(t,\xi)} \frac{\partial \rho_{11}}{\partial t} d\mathbf{x} = - \int_{\omega_1(t,\xi)} \operatorname{div}_{\mathbf{x}} \rho_{11} \mathbf{v}_1 d\mathbf{x} = - \operatorname{div}_{\xi} \int_{\omega_1(t,\xi)} \rho_{11} \mathbf{v}_1 d\mathbf{x} - \int_{s_1(t,\xi)} \rho_{11} \mathbf{v}_1 \cdot \mathbf{n} dS. \quad (31)$$

Подставляя (31) в (30), приводя подобные и деля на ω , получаем

$$\frac{\partial}{\partial t} \langle \rho_{11} \rangle + \operatorname{div}_{\xi} \langle \rho_{11} \mathbf{v}_1 \rangle = - \frac{s_1}{\omega} \langle \rho_{11} (\mathbf{v}_1 - \mathbf{v}_2) \cdot \mathbf{n} \rangle_{s_1}. \quad (32)$$

С учетом (27) выражение для метана, аналогичное (32), принимает вид

$$\frac{\partial}{\partial t} \langle \rho_{12} \rangle + \operatorname{div}_{\xi} \langle \rho_{12} \mathbf{v}_1 \rangle = 0. \quad (33)$$

С использованием формулы (3) выражение для импульса газа в объеме ω_1 запишем в виде

$$\frac{\partial}{\partial t} \int_{\omega_1(t,\xi)} \rho_1 \mathbf{v}_1 d\mathbf{x} = \int_{\omega_1(t,\xi)} \frac{\partial}{\partial t} (\rho_1 \mathbf{v}_1) d\mathbf{x} + \int_{s_1(t,\xi)} \rho_1 \mathbf{v}_1 (\mathbf{v}_2 \cdot \mathbf{n}) d\mathbf{x}. \quad (34)$$

Подставляя в (34) формулу (24) и используя для преобразования дивергенции уравнение (6), получаем

$$\begin{aligned} \frac{\partial}{\partial t} \int_{\omega_1(t,\xi)} \rho_1 \mathbf{v}_1 d\mathbf{x} + \operatorname{div}_{\xi} \int_{\omega_1(t,\xi)} (\rho_1 \mathbf{v}_1 \otimes \mathbf{v}_1 - \sigma) d\mathbf{x} = \\ = - \int_{s_1(t,\xi)} [(\rho_1 (\mathbf{v}_1 - \mathbf{v}_2) \cdot \mathbf{n}) \mathbf{v}_1 - \mathbf{n} \cdot \sigma] dS. \end{aligned} \quad (35)$$

С использованием формул для осреднения соотношение (35) запишем в виде

$$\frac{\partial}{\partial t} \langle \rho_1 \mathbf{v}_1 \rangle + \operatorname{div}_{\xi} \langle \rho_1 \mathbf{v}_1 \otimes \mathbf{v}_1 - \sigma \rangle = - \frac{s_1}{\omega} \langle (\rho_1 (\mathbf{v}_1 - \mathbf{v}_2) \cdot \mathbf{n}) \mathbf{v}_1 - \mathbf{n} \cdot \sigma \rangle_{s_1}. \quad (36)$$

Аналогичное выражение можно получить для полной энергии газа в объеме ω_1 :

$$\begin{aligned} \frac{\partial}{\partial t} \int_{\omega_1(t,\xi)} (\rho_{11} E_{11} + \rho_{12} E_{12}) d\mathbf{x} + \operatorname{div}_{\xi} \int_{\omega_1(t,\xi)} ((\rho_{11} E_{11} + \rho_{12} E_{12}) \mathbf{v}_1 - \sigma \cdot \mathbf{v}_1 - \mathbf{q}) d\mathbf{x} = \\ = - \int_{s_1(t,\xi)} [((\rho_{11} E_{11} + \rho_{12} E_{12}) (\mathbf{v}_1 - \mathbf{v}_2) \cdot \mathbf{n}) - \mathbf{q} \cdot \mathbf{n} - (\mathbf{n} \cdot \sigma) \cdot \mathbf{v}_1] dS. \end{aligned} \quad (37)$$

Записав соотношение (37) через оператор осреднения, получаем

$$\begin{aligned} \frac{\partial}{\partial t} \langle \rho_{11} E_{11} + \rho_{12} E_{12} \rangle + \operatorname{div}_{\xi} \langle (\rho_{11} E_{11} + \rho_{12} E_{12}) \mathbf{v}_1 - \sigma \cdot \mathbf{v}_1 - \mathbf{q} \rangle = \\ = - \frac{s_1}{\omega} \langle \rho_{11} E_{11} (\mathbf{v}_1 - \mathbf{v}_2) \cdot \mathbf{n} - \mathbf{q} \cdot \mathbf{n} - (\mathbf{n} \cdot \sigma) \cdot \mathbf{v}_1 \rangle_{s_1}. \end{aligned} \quad (38)$$

В правой части равенства (37) первое слагаемое определяет межфазный обмен энергией за счет межфазного перехода массы, второе слагаемое — переток тепла, третье представляет собой работу силы по перемещению газа на межфазной поверхности.

Рассмотрим правые части уравнений (32), (36), (38).

С учетом (25) правая часть уравнения (32), описывающая плотность массового потока гелия через оболочку микросферы, принимает вид

$$\begin{aligned} \langle \rho_{11}(\mathbf{v}_1 - \mathbf{v}_2) \cdot \mathbf{n} \rangle_{s_1} &= \left\langle \frac{C_m \beta}{d} (p_{11} - p_{21}) \right\rangle_{s_1} = \\ &= \frac{C_m \beta}{d} \left(\langle p_{11} \rangle_{s_1} - \frac{1}{s_1} \sum_{i=1}^k s_1^i p_{21}^i \right) \approx \frac{C_m \beta}{d} (\langle p_{11} \rangle_1 - \langle p_{21} \rangle_{21}), \end{aligned} \quad (39)$$

где p_{21}^i — парциальное давление гелия в i -й частице; s_1^i — часть поверхности i -й частицы, находящейся в объеме ω . Последняя аппроксимация выполнена в предположении, что среднее значение давления p_{11} на границе незначительно отличается от среднего в объеме ω_1 [6].

В правой части равенства (36) первое слагаемое M_{g1} описывает потерю импульса газом за счет уменьшения его массы, а второе слагаемое M_{g2} — за счет силы взаимодействия частиц и газа на поверхности s_1 :

$$M_{g1} = -\frac{s_1}{\omega} \langle (\rho_1(\mathbf{v}_1 - \mathbf{v}_2) \cdot \mathbf{n}) \mathbf{v}_1 \rangle_{s_1}, \quad M_{g2} = \frac{s_1}{\omega} \langle \mathbf{n} \cdot \boldsymbol{\sigma} \rangle_{s_1}. \quad (40)$$

Используя формулы (10), (20), (39) и граничное условие (27), получаем

$$\begin{aligned} M_{g1} &= -\frac{s_1}{\omega} \langle (\rho_{11}(\mathbf{v}_1 - \mathbf{v}_2) \cdot \mathbf{n}) \mathbf{v}_1 \rangle_{s_1} - \frac{s_1}{\omega} \langle (\rho_{12}(\mathbf{v}_1 - \mathbf{v}_2) \cdot \mathbf{n}) \mathbf{v}_1 \rangle_{s_1} \approx \\ &\approx -\frac{s_1}{\omega} \langle \rho_{11}(\mathbf{v}_1 - \mathbf{v}_2) \cdot \mathbf{n} \rangle_{s_1} \langle \mathbf{v}_1 \rangle_{s_1} \approx -\frac{3C_m \beta}{dR} m_2 (\langle p_{11} \rangle_1 - \langle p_{21} \rangle_{21}) \langle \mathbf{v}_1 \rangle_{s_1}. \end{aligned} \quad (41)$$

Среднее значение скорости \mathbf{v}_1 на поверхности s_1 отличается от среднего значения в ω_1 , так как зависит от массопереноса гелия внутрь частицы. Используя граничные условия (25), (26), выражение для \mathbf{v}_1 на s_1 представим в виде

$$\mathbf{v}_1 = \frac{C_m \beta}{d\rho_{11}} (p_{11} - p_{21}) \mathbf{n} + \mathbf{v}_2.$$

С помощью выражения (22) получаем следующее приближение:

$$\langle \mathbf{v}_1 \rangle_{s_1} \approx \frac{C_m R \beta}{3d} \frac{\langle p_{11} \rangle_1 - \langle p_{21} \rangle_{21}}{\langle \rho_{11} \rangle_1 m_2} \nabla m_2 + \langle \mathbf{v}_2 \rangle_2. \quad (42)$$

Значение параметра M_{g2} , представляющего собой удельную силу в единице объема ω , действующую на частицы со стороны газа, можно найти из решения соответствующих задач обтекания сферы набегающим потоком газов. Например, в случае потоков с малой объемной концентрацией частиц можно ограничиться рассмотрением одной частицы [8, 9]:

$$\mathbf{f} = \mathbf{f}_D + \mathbf{f}_A + \mathbf{f}_m + \mathbf{f}_B, \quad (43)$$

где

$$\mathbf{f}_D = 6\pi f_D R \mu (\mathbf{v}_2 - \mathbf{v}_1); \quad (44)$$

$$\mathbf{f}_A = (4\pi/3) R^3 \nabla p; \quad (45)$$

$$\mathbf{f}_m = \frac{2}{3} \pi R^3 \rho_1 \frac{d_2}{dt} (\mathbf{v}_1 - \mathbf{v}_2); \quad (46)$$

$$\mathbf{f}_B = 6R^2 (\pi \rho_1 \mu)^{1/2} \int_0^t \frac{d_2}{d\tau} (\mathbf{v}_1 - \mathbf{v}_2) \frac{d\tau}{(t - \tau)^{1/2}}, \quad (47)$$

\mathbf{f}_D — сила Стокса; \mathbf{f}_A — сила Архимеда; \mathbf{f}_m — сила присоединенной массы; \mathbf{f}_B — сила Бассе; f_D — коэффициент в выражении для силы Стокса, зависящий от режима обтекания частицы и стесненности потока; μ — вязкость смеси газов; \mathbf{v}_2 — скорость частицы; \mathbf{v}_1 — скорость газа на бесконечности; R — радиус частицы; ρ_1 — плотность газа на бесконечности; ∇p — градиент давления в окрестности частицы; $d_i/dt = \partial/\partial t + (\mathbf{v}_i \nabla)$ — субстанциональная производная ($i = 1, 2$).

Иной подход представлен в работе [6].

Зафиксируем $\boldsymbol{\xi}$ и рассмотрим в $\omega_1(\boldsymbol{\xi})$ тензор напряжения $\sigma = -p_1 I + \tau$, где I — единичный тензор; p_1 — давление газа; τ — девиаторная составляющая тензора напряжений. Давление в окрестности точки $\boldsymbol{\xi}$ представим в виде

$$p_1(\mathbf{x}) = \langle p_1 \rangle_1(\boldsymbol{\xi}) + p'(\mathbf{x}).$$

Составляющую силы (40), образованную шаровой частью тензора напряжения, запишем в виде

$$\frac{1}{\omega} \int_{s_1(\boldsymbol{\xi})} p_1(\mathbf{x}) \mathbf{n} dS = \frac{\langle p_1 \rangle_1(\boldsymbol{\xi})}{\omega} \int_{s_1(\boldsymbol{\xi})} \mathbf{n} dS + \frac{1}{\omega} \int_{s_1(\boldsymbol{\xi})} p'(\mathbf{x}) \mathbf{n} dS \approx -\langle p_1 \rangle_1(\boldsymbol{\xi}) \nabla_{\boldsymbol{\xi}} m_1(\boldsymbol{\xi}). \quad (48)$$

В (48) пренебрегается интегралом от пульсаций $p'(\mathbf{x})$ и используется формула (21).

Из анализа формул (44)–(47) следует, что полученное выражение является аналогом силы Архимеда \mathbf{f}_A , введенной формально. Шаровая часть тензора напряжений, которой пренебрегается, также определяет силу присоединенных масс \mathbf{f}_m . Девиаторная составляющая определяет силу Бассе \mathbf{f}_B и силу Стокса \mathbf{f}_D .

В дальнейшем сила Архимеда, полученная в рамках подхода [6], и сила Стокса, определенная в (44), рассматриваются в качестве первого приближения.

Таким образом,

$$M_{g2} = \langle p_1 \rangle_1 \nabla m_1 + \frac{m_2}{(4/3)\pi R^3} 6\pi f_D R \langle \mu \rangle_1 (\langle \mathbf{v}_2 \rangle_2 - \langle \mathbf{v}_1 \rangle_1). \quad (49)$$

Правая часть уравнения (37) состоит из суммы трех слагаемых

$$\begin{aligned} E_{g1} &= -\frac{s_1}{\omega} \langle \rho_{11}(\mathbf{v}_1 - \mathbf{v}_2) \cdot \mathbf{n} E_{11} \rangle_{s_1} - \frac{s_1}{\omega} \langle \rho_{12}(\mathbf{v}_1 - \mathbf{v}_2) \cdot \mathbf{n} E_{12} \rangle_{s_1}; \\ E_{g2} &= \frac{s_1}{\omega} \langle \mathbf{q} \cdot \mathbf{n} \rangle_{s_1}; \\ E_{g3} &= \frac{s_1}{\omega} \langle (\mathbf{n} \cdot \sigma) \cdot \mathbf{v}_1 \rangle_{s_1}, \end{aligned} \quad (50)$$

где E_{g1} — количество энергии, потерянной газом при переходе части гелия в частицу; E_{g2} — суммарная теплоотдача газа частицам через межфазную поверхность; E_{g3} — работа поверхностных сил по перемещению газа на межфазной границе.

Используя аналогичную использованной ранее технику осреднения и выражения (25), (27), получаем следующее соотношение для E_{g1} :

$$E_{g1} \approx \frac{3C_m \beta}{dR} m_2 (\langle p_{11} \rangle_1 - \langle p_{21} \rangle_{21}) (\langle \varepsilon_{11} \rangle_{s_1} + \langle \mathbf{v}_1 \rangle_{s_1}^2). \quad (51)$$

С помощью закона Ньютона — Рихмана выражение (50) можно записать в виде

$$E_{g2} \approx \frac{3\alpha}{R} m_2 (\langle T_2 \rangle_2 - \langle T_1 \rangle_1), \quad (52)$$

где α — коэффициент теплоотдачи; T_1 — температура газа; T_2 — температура микросфер.

Используя (49), получаем аппроксимацию для E_{g3}

$$E_{g3} \approx M_{g2} \cdot \langle \mathbf{v}_1 \rangle_{s_1}. \quad (53)$$

5. Осредненные законы сохранения массы, импульса и энергии для твердой фазы, занятой микросферами. Частица с газом внутри движется как твердое тело со скоростью \mathbf{v}_2 . Используя (3), рассмотрим изменение массы газа внутри всех частиц в объеме ω_{21} :

$$\frac{\partial}{\partial t} \int_{\omega_{21}(t, \xi)} \rho_{21} d\mathbf{x} = \int_{\omega_{21}(t, \xi)} \frac{\partial \rho_{21}}{\partial t} d\mathbf{x} + \int_{s_{21}(t, \xi)} \rho_{21} \mathbf{v}_2 \cdot \mathbf{n} dS. \quad (54)$$

Первое слагаемое в правой части уравнения (54) представим в виде

$$\int_{\omega_{21}(t, \xi)} \frac{\partial \rho_{21}}{\partial t} d\mathbf{x} = s_1 \frac{C_m \beta}{d} (\langle p_{11} \rangle_1 - \langle p_{21} \rangle_{21}).$$

С использованием (5) находим

$$0 = \int_{\omega_{21}(t, \xi)} \operatorname{div}_x \rho_{21} \mathbf{v}_2 d\mathbf{x} = \operatorname{div}_\xi \int_{\omega_{21}(t, \xi)} \rho_{21} \mathbf{v}_2 d\mathbf{x} + \int_{s_{21}(t, \xi)} \rho_{21} \mathbf{v}_2 \cdot \mathbf{n} dS. \quad (55)$$

Подставляя поверхностный интеграл из уравнения (55) в (54), получаем

$$\frac{\partial}{\partial t} \langle \rho_{21} \rangle + \operatorname{div}_\xi \langle \rho_{21} \mathbf{v}_2 \rangle = \frac{s_1}{\omega} \frac{C_m \beta}{d} (\langle p_{11} \rangle_1 - \langle p_{21} \rangle_{21}). \quad (56)$$

Уравнения движения для твердой фазы частиц, движущейся со скоростью \mathbf{v}_2 и имеющей плотность $\rho_{22}^0 = \text{const}$, запишем в виде

$$\frac{\partial}{\partial t} \langle \rho_{22}^0 \rangle + \operatorname{div}_\xi \langle \rho_{22}^0 \mathbf{v}_2 \rangle = 0. \quad (57)$$

С учетом (3) изменение во времени полного импульса всех частиц в ω описывается выражением

$$\begin{aligned} \frac{\partial}{\partial t} \left(\int_{\omega_{21}(t, \xi)} \rho_{21} \mathbf{v}_2 d\mathbf{x} + \int_{\omega_{22}(t, \xi)} \rho_{22}^0 \mathbf{v}_2 d\mathbf{x} \right) = \\ = \int_{\omega_{21}(t, \xi)} \frac{\partial}{\partial t} (\rho_{21} \mathbf{v}_2) d\mathbf{x} + \int_{\omega_{22}(t, \xi)} \frac{\partial}{\partial t} (\rho_{22}^0 \mathbf{v}_2) d\mathbf{x} + \\ + \int_{s_{21}(t, \xi)} \rho_{21} \mathbf{v}_2 (\mathbf{v}_2 \cdot \mathbf{n}) dS + \int_{s_{22}(t, \xi)} \rho_{22}^0 \mathbf{v}_2 (\mathbf{v}_2 \cdot \mathbf{n}) dS. \end{aligned} \quad (58)$$

Закон сохранения импульса для всех микросфер в ω с учетом поглощения (выделения) гелия запишем в виде

$$\sum_i \left(\omega_{21}^i(t, \xi) \frac{\partial}{\partial t} (\rho_{21} \mathbf{v}_2^i) + \omega_{22}^i(t, \xi) \frac{\partial}{\partial t} (\rho_{22}^0 \mathbf{v}_2^i) \right) = s_1 \frac{C_m \beta}{d} (\langle p_{11} \rangle_1 - \langle p_{21} \rangle_{21}) \langle \mathbf{v}_1 \rangle_{s_1} - \omega \mathbf{f},$$

где \mathbf{f} — сила, действующая на частицы со стороны газа. В соответствии с условием баланса сил согласно (49) эта сила равна

$$\mathbf{f} = \langle p_1 \rangle_1 \nabla m_1 + \frac{m_2}{(4/3)\pi R^3} 6\pi f_D R \langle \mu \rangle_1 (\langle \mathbf{v}_2 \rangle_2 - \langle \mathbf{v}_1 \rangle_1).$$

Силой взаимодействия частица — частица пренебрегается.

Для того чтобы избавиться от поверхностных интегралов в формуле (58), необходимо выполнить следующее преобразование с использованием (6):

$$\int_{\omega_{21}(t,\xi)} \operatorname{div}_{\mathbf{x}} \rho_{21} \mathbf{v}_2 \otimes \mathbf{v}_2 d\mathbf{x} = \operatorname{div}_{\xi} \int_{\omega_{21}(t,\xi)} \rho_{21} \mathbf{v}_2 \otimes \mathbf{v}_2 d\mathbf{x} + \int_{s_{21}(t,\xi)} \mathbf{n} \cdot (\rho_{21} \mathbf{v}_2 \otimes \mathbf{v}_2) dS; \quad (59)$$

$$\int_{\omega_{22}(t,\xi)} \operatorname{div}_{\mathbf{x}} \rho_{22} \mathbf{v}_2 \otimes \mathbf{v}_2 d\mathbf{x} = \operatorname{div}_{\xi} \int_{\omega_{22}(t,\xi)} \rho_{22} \mathbf{v}_2 \otimes \mathbf{v}_2 d\mathbf{x} + \int_{s_{22}(t,\xi)} \mathbf{n} \cdot (\rho_{22} \mathbf{v}_2 \otimes \mathbf{v}_2) dS. \quad (60)$$

Левые части уравнений (59), (60) равны нулю, так как функции, к которым применяется операция дивергенции, являются постоянными внутри микросфер. Таким образом, закон сохранения импульса имеет вид

$$\begin{aligned} \frac{\partial}{\partial t} (\langle \rho_{21} \mathbf{v}_2 \rangle + \langle \rho_{22}^0 \mathbf{v}_2 \rangle) + \operatorname{div}_{\xi} (\langle \rho_{21} \mathbf{v}_2 \otimes \mathbf{v}_2 \rangle + \langle \rho_{22} \mathbf{v}_2 \otimes \mathbf{v}_2 \rangle) = \\ = \frac{s_1}{\omega} \frac{C_m \beta}{d} (\langle p_{11} \rangle_1 - \langle p_{21} \rangle_{21}) \langle \mathbf{v}_1 \rangle_{s_1} - \mathbf{f}. \end{aligned} \quad (61)$$

Используя (3), производную по времени от полной энергии второй фазы запишем в виде

$$\begin{aligned} \frac{\partial}{\partial t} \left(\int_{\omega_{21}(t,\xi)} \rho_{21} E_{21} d\mathbf{x} + \int_{\omega_{22}(t,\xi)} \rho_{22}^0 E_{22} d\mathbf{x} \right) = \\ = \int_{\omega_{21}(t,\xi)} \frac{\partial \rho_{21} E_{21}}{\partial t} d\mathbf{x} + \int_{\omega_{22}(t,\xi)} \frac{\partial \rho_{22}^0 E_{22}}{\partial t} d\mathbf{x} + \\ + \int_{s_{21}(t,\xi)} \rho_{21} E_{21} (\mathbf{v}_2 \cdot \mathbf{n}) dS + \int_{s_{22}(t,\xi)} \rho_{22}^0 E_{22} (\mathbf{v}_2 \cdot \mathbf{n}) dS, \end{aligned} \quad (62)$$

где $E_{21} = \varepsilon_{21} + \mathbf{v}_2^2/2$; $E_{22} = \varepsilon_{22} + \mathbf{v}_2^2/2$.

С использованием (5) находим

$$\int_{\omega_{21}(t,\xi)} \operatorname{div}_{\mathbf{x}} \rho_{21} E_{21} \mathbf{v}_2 d\mathbf{x} = \operatorname{div}_{\xi} \int_{\omega_{21}(t,\xi)} \rho_{21} E_{21} \mathbf{v}_2 d\mathbf{x} + \int_{s_{21}(t,\xi)} \rho_{21} E_{21} \mathbf{v}_2 \cdot \mathbf{n} dS; \quad (63)$$

$$\int_{\omega_{22}(t,\xi)} \operatorname{div}_{\mathbf{x}} \rho_{22}^0 E_{22} \mathbf{v}_2 d\mathbf{x} = \operatorname{div}_{\xi} \int_{\omega_{22}(t,\xi)} \rho_{22}^0 E_{22} \mathbf{v}_2 d\mathbf{x} + \int_{s_{22}(t,\xi)} \rho_{22}^0 E_{22} \mathbf{v}_2 \cdot \mathbf{n} dS. \quad (64)$$

Поскольку внутри каждой частицы значения параметров полагаются постоянными, левые части уравнений (63), (64) равны нулю.

Закон сохранения энергии для всех микросфер в ω принимает вид

$$\begin{aligned} \sum_i \left(\omega_{21}^i(t, \xi) \frac{\partial}{\partial t} (\rho_{21}^i E_{21}^i) + \omega_{22}^i(t, \xi) \frac{\partial}{\partial t} (\rho_{22}^0 E_{22}^i) \right) = \\ = s_1 \frac{C_m \beta}{d} (\langle p_{11} \rangle_1 - \langle p_{21} \rangle_{21}) \langle E_{21} \rangle_{s_{21}} - \omega \mathbf{f} \cdot \langle \mathbf{v}_1 \rangle_{s_1} + s_1 \alpha (\langle T_1 \rangle_1 - \langle T_2 \rangle_2). \end{aligned} \quad (65)$$

Подставляя (65), (63), (64) в (62), получаем следующее выражение в терминах средних величин:

$$\begin{aligned} \frac{\partial}{\partial t} \langle \rho_{21} E_{21} + \rho_{22}^0 E_{22} \rangle + \operatorname{div}_{\xi} \langle (\rho_{21} E_{21} + \rho_{22}^0 E_{22}) \mathbf{v}_2 \rangle = \\ = \frac{s_1}{\omega} \frac{C_m \beta}{d} (\langle p_{11} \rangle_1 - \langle p_{21} \rangle_{21}) \langle E_{21} \rangle_{s_{21}} - \mathbf{f} \cdot \langle \mathbf{v}_1 \rangle_{s_1} + \frac{\alpha s_1}{\omega} (\langle T_1 \rangle_1 - \langle T_2 \rangle_2). \end{aligned} \quad (66)$$

Из закона сохранения энергии следует равенство $\langle E_{21} \rangle_{s_{21}} = -\langle E_{11} \rangle_{s_1}$.

6. Итоговые уравнения. Используя введенные предположения и дополнительные соотношения (10), (20), (39), (41), (42), (49), (51)–(53), преобразуем уравнения (32), (33), (56), (57), (36), (61), (38), (66). Получаем систему уравнений, описывающих движение твердых полых избирательно проницаемых сферических частиц в смеси газов гелия и метана, для осредненных параметров смеси $\langle \cdot \rangle$ и $\langle \cdot \rangle_i$ ($i \in \{1, 2, 12, 21, 22\}$):

— законы сохранения массы

$$\begin{aligned} \frac{\partial}{\partial t} \langle \rho_{11} \rangle + \operatorname{div}_{\xi} \langle \rho_{11} \rangle \langle \mathbf{v}_1 \rangle_1 = -K_{12}, \quad \frac{\partial}{\partial t} \langle \rho_{12} \rangle + \operatorname{div}_{\xi} \langle \rho_{12} \rangle \langle \mathbf{v}_1 \rangle_1 = 0, \\ \frac{\partial}{\partial t} \langle \rho_{21} \rangle + \operatorname{div}_{\xi} \langle \rho_{21} \rangle \langle \mathbf{v}_2 \rangle_2 = K_{12}, \quad \frac{\partial}{\partial t} \langle \rho_{22}^0 \rangle + \operatorname{div}_{\xi} \langle \rho_{22}^0 \rangle \langle \mathbf{v}_2 \rangle_2 = 0, \end{aligned}$$

где

$$K_{12} = \frac{3C_m \beta}{Rd} m_2 \left(\frac{p_{11}}{m_1} - \frac{p_{21}}{m_{21}} \right), \quad p_{11} = \langle \rho_{11} \rangle R_1 \langle T_1 \rangle_1, \quad p_{21} = \langle \rho_{21} \rangle R_1 \langle T_1 \rangle_1;$$

— законы сохранения импульса

$$\begin{aligned} \frac{\partial}{\partial t} \langle \rho_1 \rangle \langle \mathbf{v}_1 \rangle_1 + \operatorname{div}_{\xi} \langle \rho_1 \rangle \langle \mathbf{v}_1 \rangle_1 \otimes \langle \mathbf{v}_1 \rangle_1 = -\nabla p_1 - \mathbf{M}_{12} + \mathbf{f}, \\ \frac{\partial}{\partial t} \langle \rho_2 \rangle \langle \mathbf{v}_2 \rangle_2 + \operatorname{div}_{\xi} \langle \rho_2 \rangle \langle \mathbf{v}_2 \rangle_2 \otimes \langle \mathbf{v}_2 \rangle_2 = \mathbf{M}_{12} - \mathbf{f}, \end{aligned}$$

где

$$\begin{aligned} \langle \rho_1 \rangle &= \langle \rho_{11} \rangle + \langle \rho_{12} \rangle, & \langle \rho_2 \rangle &= \langle \rho_{21} \rangle + \langle \rho_{22}^0 \rangle, \\ p_1 &= p_{11} + p_{12}, & p_{12} &= \langle \rho_{12} \rangle R_2 \langle T_1 \rangle_1, \\ \mathbf{M}_{12} &= K_{12} \left(\langle \mathbf{v}_2 \rangle_2 + \frac{K_{12}}{\langle \rho_{11} \rangle_1} \left(\frac{R}{3m_2} \right)^2 \nabla m_2 \right), \end{aligned}$$

$$\mathbf{f} = -\frac{p_1}{m_1} \nabla m_2 + \frac{m_2}{(4/3)\pi R^3} 6\pi f_D R \langle \mu \rangle_1 (\langle \mathbf{v}_2 \rangle_2 - \langle \mathbf{v}_1 \rangle_1);$$

— законы сохранения энергии

$$\begin{aligned} \frac{\partial U_1}{\partial t} + \operatorname{div}_{\xi} ((U_1 + p_1) \langle \mathbf{v}_1 \rangle_1 - \langle \mathbf{q} \rangle) &= -R_{12} + Q_{12} + A_{12}, \\ \frac{\partial U_2}{\partial t} + \operatorname{div}_{\xi} U_2 \langle \mathbf{v}_2 \rangle_2 &= R_{12} - Q_{12} - A_{12}, \end{aligned}$$

где

$$\begin{aligned} U_1 &= (\langle \rho_{11} \rangle C_V^{(1)} + \langle \rho_{12} \rangle C_V^{(2)}) \langle T_1 \rangle_1 + \langle \rho_1 \rangle \langle \mathbf{v}_1 \rangle_1^2 / 2, \\ U_2 &= (\langle \rho_{21} \rangle C_V^{(1)} + \langle \rho_{22}^0 \rangle C_s) \langle T_2 \rangle_2 + \langle \rho_2 \rangle \langle \mathbf{v}_2 \rangle_2^2 / 2, \\ R_{12} &= K_{12} \left(C_V^{(1)} \langle T_2 \rangle_2 + \frac{1}{2} \left(\langle \mathbf{v}_2 \rangle_2 + \frac{K_{12}}{\langle \rho_{11} \rangle_1} \left(\frac{R}{3m_2} \right)^2 \nabla m_2 \right)^2 \right), \end{aligned}$$

$$Q_{12} = \frac{3\alpha}{R} m_2 (\langle T_2 \rangle_2 - \langle T_1 \rangle_1), \quad A_{12} = \mathbf{f} \cdot \left(\langle \mathbf{v}_2 \rangle_2 + \frac{K_{12}}{\langle \rho_{11} \rangle_1} \left(\frac{R}{3m_2} \right)^2 \nabla m_2 \right),$$

$C_V^{(1)}, C_V^{(2)}$ — коэффициенты теплоемкости при постоянном объеме для гелия и метана; C_s — коэффициент теплоемкости оболочки микросферы; α — коэффициент теплопередачи, зависящий от концентрации компонентов смеси в $\omega_1(t, \boldsymbol{\xi})$.

Полученные уравнения дополним уравнениями для связи объемных концентраций

$$m_1 + m_2 = 1, \\ m_{21} = (1 - \beta^3)m_2, \quad m_{22} = \beta^3 m_2,$$

а также для связи между объемной концентрацией и осредненной плотностью твердой фазы

$$\langle \rho_{22}^0 \rangle = \rho_{22}^0 (1 - \beta^3) m_2,$$

где ρ_{22}^0 — плотность твердой стенки микросферы.

7. Одномерный нестационарный случай. Переобозначая переменные и записывая вместо $\boldsymbol{\xi}$ переменную x , рассмотрим приведенную систему законов сохранения в одномерном нестационарном изотермическом случае ($T_1 = T_2 = T = \text{const}$):

$$\begin{aligned} \frac{d_1 \rho_{11}}{dt} + \rho_{11} \frac{\partial v_1}{\partial x} &= -\frac{3m_2}{R} K, & \frac{d_1 \rho_{12}}{dt} + \rho_{12} \frac{\partial v_1}{\partial x} &= 0, \\ \frac{d_2 \rho_{21}}{dt} + \rho_{21} \frac{\partial v_2}{\partial x} &= \frac{3m_2}{R} K, & \frac{d_2 m_2}{dt} + m_2 \frac{\partial v_2}{\partial x} &= 0, \\ \rho_1 \frac{d_1 v_1}{dt} + \frac{\partial p_1}{\partial x} + \left(\frac{p_1}{m_1} + \frac{K^2 m_1}{\rho_{11}} \right) \frac{\partial m_2}{\partial x} &= \frac{3m_2}{R} K (v_1 - v_2) + \frac{m_2}{V^+} f_S, \\ \rho_2 \frac{d_2 v_2}{dt} - \left(\frac{p_1}{m_1} + \frac{K^2 m_1}{\rho_{11}} \right) \frac{\partial m_2}{\partial x} &= -\frac{m_2}{V^+} f_S, \end{aligned}$$

где

$$K = \frac{C_m \beta}{d} \left(\frac{\rho_{11}}{m_1} - \frac{\rho_{21}}{\beta^3 m_2} \right) R_1 T_1, \quad \rho_1 = \rho_{11} + \rho_{12}, \quad \rho_2 = \rho_{21} + \rho_{22},$$

$$p_1 = p_{11} + p_{12}, \quad p_{11} = \rho_{11} R_1 T_1, \quad p_{12} = \rho_{12} R_2 T_1, \quad f_S = 6\pi R f_D \mu (v_2 - v_1).$$

Дополнительно в уравнениях используются объемные доли фаз $m_1 = m_1(t, x)$, $m_2 = m_2(t, x)$, для которых справедливы соотношения

$$m_1 + m_2 = 1, \quad \rho_{22} = \rho_{22}^0 (1 - \beta^3) m_2.$$

Для функции $\mathbf{u} = \mathbf{u}(t, x)$ система законов сохранения в векторной форме записывается в виде системы квазилинейных уравнений

$$\frac{\partial \mathbf{u}}{\partial t} + A(\mathbf{u}) \frac{\partial \mathbf{u}}{\partial x} = \mathbf{f}, \quad (67)$$

где

$$\mathbf{u} = \{\rho_{11}, \rho_{12}, \rho_{21}, m_2, v_1, v_2\}^T, \\ A = \begin{pmatrix} v_1 & 0 & 0 & 0 & \rho_{11} & 0 \\ 0 & v_1 & 0 & 0 & \rho_{12} & 0 \\ 0 & 0 & v_2 & 0 & 0 & \rho_{21} \\ 0 & 0 & 0 & v_2 & 0 & m_2 \\ R_1 T / \rho_1 & R_2 T / \rho_1 & 0 & (p_1 / m_1 + K^2 m_1 / \rho_{11}) / \rho_1 & v_1 & 0 \\ 0 & 0 & 0 & -(p_1 / m_1 + K^2 m_1 / \rho_{11}) / \rho_2 & 0 & v_2 \end{pmatrix},$$

$$\mathbf{f} = \left(-\frac{3m_2}{R} K, 0, \frac{3m_2}{R} K, 0, \frac{3m_2}{R} \frac{K}{\rho_1} (v_1 - v_2) + \frac{m_2}{(4/3)\pi R^3 \rho_1} f_S, -\frac{m_2}{(4/3)\pi R^3 \rho_2} f_S \right)^T.$$

Тип системы уравнений зависит от собственных значений матрицы A . В данном случае имеется четыре действительных собственных значения $v_1, v_2, v_1 \pm \sqrt{p_1/\rho_1}$ и два комплексно-сопряженных $v_2 \pm i\sqrt{(m_2/\rho_2)(p_1/m_1 + K^2 m_1/\rho_{11})}$. Отсюда следует, что система квазилинейных уравнений (67) является системой составного типа.

Заключение. Получена математическая модель движения твердых избирательно проницаемых частиц и смеси газов в рамках подхода, использующего осреднения по объему. На примере частного одномерного изотермического случая показано, что математическая модель является системой квазилинейных уравнений в частных производных составного типа, что согласуется с ранее полученными результатами [10] для моделей газ — частицы.

ЛИТЕРАТУРА

1. **Андреев И. Л.** Гелиевая промышленность в России и мировой опыт создания и эксплуатации гелиевого оборудования // Хим. и нефт. машиностроение. 1995. Т. 2. С. 16–22.
2. **Tsugawa R. T., Moen I., Roberts P. E., Souers P. C.** Permeation of helium and hydrogen from glass-microsphere laser targets // J. Appl. Phys. 1976. V. 47, N 5. P. 1987–1993.
3. **Верещагин А. С., Зиновьев В. Н., Фомин В. М. и др.** Оценка коэффициента проницаемости стенок микросфер // Вестн. Новосиб. гос. ун-та. Сер. Физика. 2010. Т. 5, № 2. С. 8–16.
4. **Верещагин А. С., Верещагин С. Н., Фомин В. М.** Математическое моделирование движения импульса концентрации гелия по колонке, заполненной пеносферами // ПМТФ. 2007. Т. 48, № 3. С. 92–102.
5. **Верещагин А. С., Казанин И. В., Зиновьев В. Н. и др.** Математическая модель проницаемости микросфер с учетом их дисперсионного распределения // ПМТФ. 2013. Т. 54, № 2. С. 88–96.
6. **Нигматулин Р. И.** Динамика многофазных сред. М.: Наука, 1987. Ч. 1.
7. **Whitaker S.** The method of volume averaging. S. 1.: Springer Sci.: Business Media, 1999.
8. **Яненко Н. Н.** Сверхзвуковые двухфазные течения в условиях скоростной неравновесности частиц / Н. Н. Яненко, Р. И. Солоухин, А. Н. Папырин, В. М. Фомин. Новосибирск: Наука. Сиб. отд-ние, 1980.
9. **Волков К. Н.** Течение газа с частицами / К. Н. Волков, Н. В. Емельянов. М.: Физматлит, 2008.
10. **Киселев С. П.** Ударно-волновые процессы в двухкомпонентных и двухфазных средах / С. П. Киселев, Г. А. Руев, А. П. Трунев, В. М. Фомин, М. Ш. Шавалиев. Новосибирск: Наука. Сиб. издат. фирма, 1992.

Поступила в редакцию 2/III 2015 г.